

## حذف سیانید از محلول آبی با استفاده از نانوذرات مغناطیسی سیلیکای اصلاح شده با برگ درخت زیتون

معصومه فربی<sup>۱</sup>\*؛ محمد رضا رضایی<sup>۲</sup>؛ محمد حسین صیادی<sup>\*</sup>

۱- کارشناسی ارشد، گروه محیط زیست، دانشکده منابع طبیعی و محیط زیست، دانشگاه بیرجند، بیرجند، ایران

۲- دانشیار گروه محیط زیست، دانشکده منابع طبیعی و محیط زیست، دانشگاه بیرجند، بیرجند، ایران

(تاریخ دریافت ۰۴/۰۰/۲۴-تاریخ پذیرش ۱۰/۰۷/۰۰)

### چکیده:

امروزه گسترش فناوری و توسعه فعالیت‌های صنعتی، سبب ورود مقادیر زیادی از آلاینده‌های مختلف به محیط‌های آبی شده است. ترکیبات سیانید از آلاینده‌های پساب صنایع مختلف به خصوص معادن طلا و نقره‌اند که به علت سمی بودن زیاد برای انسان و محیط زیست باید پیش از تخلیه به محیط تصفیه شوند. در این پژوهش، نانوذرات مغناطیسی سیلیکا مطابق روش همروسوبی و استوبر با اندکی تغییر سنتز و با خاکستر برگ درخت زیتون تلح اصلاح و قابلیت آن برای حذف سیانید از محلول‌های آبی بررسی شد. برای تعیین مشخصات نانوکامپوزیت سنتز شده از الگوی پراش پرتو ایکس، طیف‌سنج مادون قرمز تبدیل فوریه، میکروسکوپ الکترونی روبشی و مغناطیسی‌سنج نمونه مرتتعش استفاده شد. طرح آزمایش در این تحقیق به صورت یک عامل در یک زمان بود و تأثیر عوامل pH، مدت زمان تماس، مقدار جاذب و غلظت اولیه سیانید بررسی شد. براساس نتایج این پژوهش، در شرایط pH=۵، مقدار جاذب ۷۵۰ میلی‌گرم بر لیتر، مدت زمان تماس ۳۰ دقیقه و غلظت اولیه ۵۰ میلی‌گرم بر لیتر سیانید، درصد این ماده حذف شد. بررسی مدل‌های ایزوترمی جذب از مدل لانگمویر با ضریب همسنگی ۹۸/۰۰ تبعیت می‌کند. همچنین بررسی سینتیکی جذب نشان داد که سرعت فرایند جذب یون‌های سیانید روی جاذب  $\text{Fe}_3\text{O}_4/\text{SiO}_2$  برازش بهتری با مدل سینتیکی شبه مرتبه دوم دارد. این تحقیق نشان داد که نانوذرات مغناطیسی سیلیکای اصلاح شده با خاکستر برگ درخت زیتون تلح قابلیت خوبی در جذب آلاینده سیانید در محلول‌های آبی دارند.

**کلید واژگان:** آلودگی آب، برگ درخت زیتون تلح، بهینه‌سازی، مدل سینتیک، نانوجاذب مغناطیسی

که اهمیت زیادی در انتقال زنجیره الکترون میتوکنند (جایه‌جایی نهایی الکترون در اکسیژن مولکولی) دارد (Kepa *et al.*, 2008). سیانید با توجه به میل ترکیبی زیاد برای تشکیل با کمپلکس‌های فلزی، با آهن سه‌ظرفیتی موجود در ساختار آنزیم سیتوکروم اکسیداز ترکیب می‌شود و کمپلکس پایدار سیانید آهن را به وجود می‌آورد که سبب اختلال در کار آنزیم و در نهایت موجب تجمع اسیدلاکتیک و مرگ سلولی ناشی از آنوکسی می‌شود (Nelson, 2006). با توجه به سمیت سیانید، لزوم حذف و کاهش غلظت سیانید تا حد استانداردهای زیست‌محیطی از شیرابه زباله‌ها و معادن، فاضلاب و پساب صنایع مختلف با استفاده از روش‌های مناسب تصفیه ضرورت دارد. تا کنون از روش‌های مختلفی برای حذف سیانید استفاده شده است. در دهه‌های اخیر، توجه زیادی به استفاده از فناوری نانو در تصفیه فاضلاب و حذف آلودگی از منابع آبی نشان داده شده است. برای حذف سیانید به عنوان آلاینده سمی و خطرناک از آب و فاضلاب، در ایران و جهان تحقیقاتی صورت گرفته است. در روش جذب، سیانید با استفاده از جاذب مناسب از پساب یا محلول آبی جدا می‌شود. جذب یکی از روش‌های متداول حذف آلاینده‌های مختلف از فاضلاب‌های صنعتی است (Moussavi and Khosravi, 2010; Ghasemi and Rohani, 2019) (Saleem *et al.*, 2019). روش جذب سطحی ساده و دارای انعطاف‌پذیری زیادی در طراحی و اجراست و به هزینه‌های عملیاتی زیادی نیاز ندارد (Saleem *et al.*, 2019). جذب سطحی، نوعی فرایند جداسازی است که در آن، ماده جذب‌شونده توسط جذب جذب می‌شود. از آنجا که برایند نیروهای واردشده بر سطح مولکول‌های جاذب برخلاف مولکول‌های دیگر موجود در توده جسم صفر نیست، مولکول‌های سطحی تمایل

## ۱. مقدمه

امروزه آلودگی منابع آب شیرین به‌طور نگران‌کننده‌ای افزایش یافته است. از مهم‌ترین عوامل آلودگی آب‌های کره زمین، افزایش جمعیت، صنعتی شدن و کشاورزی در دو قرن اخیر است. خاصیت حلالیت زیاد آب که حلال منحصر به‌فردی به شمار می‌رود نیز سبب می‌شود که آلاینده‌های بسیاری در آن حل شده و سبب آلودگی آب شوند (Asgari *et al.*, 2014; Sayadi *et al.*, 2019). فاضلاب‌های صنعتی حاوی مواد شیمیایی مختلفی‌اند که ممکن است تأثیرات مخربی بر محیط زیست داشته باشند. این فاضلاب‌ها به‌دلیل داشتن مواد شیمیایی ممکن است تهدیدی جدی برای سلامت انسان و دیگر موجودات زنده باشند و از این‌رو باید پیش از رها شدن در محیط زیست کاملاً تصفیه شوند تا سبب ایجاد بیماری‌های مختلف و آلودگی محیط زیست نشوند. به‌دلیل مسئله کمبود آب، تصفیه فاضلاب‌های صنایع و غیره، سبب بازیابی آب و استفاده مجدد از آن در کاربری‌های مختلف نیز می‌شود. از این‌رو تصفیه فاضلاب پیش از تخلیه در محیط ضروری است (Moussavi and Khosravi, 2010; Ghasemi and Rohani, 2019). ترکیبات سیانیدار هم به‌طور طبیعی توسط گونه‌هایی از باکتری‌ها، قارچ‌ها، بندپایان و جلبک‌ها و هم به‌طور مصنوعی از خروجی واحدهای صنعتی مانند صنایع آبکاری، داروسازی، استخراج طلا و نقره، پلاستیک‌سازی و سموم کشاورزی تولید و وارد محیط زیست می‌شوند (Dash *et al.*, 2009; Ahmadpour *et al.*, 2020). مهم‌ترین اثر سمی سیانید، مهار آنزیم سیتوکروم اکسیداز و در نتیجه ایجاد اختلال در تنفس سلولی است. سیتوکروم اکسیداز از آنزیم‌های مهم بدن است

لیتر بود و در مدت زمان ۳۲ ساعت در دمای ۳۰ درجه سانتیگراد جذب صورت گرفت و داده‌های جذب مطابق ایزوترم فروندلیج بودند. تغییرات دما از ۲۰ تا ۵۰ درجه سانتیگراد درنظر گرفته شد و نتایج نشان داد که افزایش دما می‌تواند سبب افزایش جذب سیانید شود که دلیل آن، کاهش گرانوی محلول و افزایش انتشار مولکول‌های سیانید به درون جاذب است (Singh *et al.*, 2017). هدف این پژوهش، بررسی حذف سیانید توسط نانوذرات مغناطیسی سیلیکای اصلاح شده با خاکستر برگ درخت زیتون تلخ است که جاذبی برای حذف سیانید از محلول‌های آبی محسوب می‌شود. در این پژوهش تأثیر پارامترهای مختلف مانند pH محلول، غلظت اولیه سیانید، زمان تماس و دوز جاذب آزمایش شده است. همچنین ایزوترم‌ها و سینتیک‌های جذب بعد از تعیین شرایط مناسب بررسی شد.

## ۲. مواد و روش‌ها

پژوهش حاضر، تحقیقی تجربی- آزمایشگاهی است که در آزمایشگاه آلودگی‌های محیط زیست دانشکدة منابع طبیعی و محیط زیست دانشگاه بیرجند انجام گرفت.

### ۱-۲. مواد شیمیایی لازم

مواد استفاده شده در این آزمایش برای سنتر نانوذرات مغناطیسی سیلیکای اصلاح شده با خاکستر برگ درخت زیتون تلخ شامل نمک‌های اولیه کلرید آهن  $\text{FeCl}_3 \cdot 6\text{H}_2\text{O}$  و کلرید آهن  $\text{NaOH}$ ، آمونیاک، تترا اتیل ارتوسیلیکات بودند که از شرکت مرک آلمان خریداری شدند. برگ درخت زیتون تلخ نیز از محوطه دانشکدة کشاورزی و منابع طبیعی بیرجند تهیه شد. از آب مقطر دوبار تقطیر در

دارند مولکول‌های موجود در محلول را که با آنها در تماس‌اند جذب کنند (Abdel-Halim *et al.*, 2003). امروزه به جذب سطحی آلاینده‌های مختلف مانند آلاینده‌های آلی و مواد سمی و غیره از آب و فاضلاب توسط نانوذرات که با محیط زیست نیز سازگارند، بسیار توجه شده است. ویژگی‌هایی مانند بازدهی و ظرفیت زیاد جذب، جداسازی سریع در حجم زیاد محلول، سطح ویژه زیاد، جایگاه‌های فعال بیشتر، واکنش‌پذیری بیشتر و پراکنده شدن در محلول آبی، سبب استفاده گسترده نانوذرات در جذب سطحی شده است در واقع نانومواد در مقایسه با اندازه معمولی همان مواد، توانایی جذب و واکنش‌پذیری (Chi *et al.*, 2012; Zadeh *et al.*, 2020) اصلاح سطح نانوذرات مگنتیت، روشی معمول و رایج برای عامل‌دار کردن است. مواد پوسته‌ای سیلیکا براساس پایداری شیمیایی شایان توجه و تطبیق‌پذیری در اصلاح سطح با گروه‌های Si-OH مناسب‌ترین ذرات برای پوشش در نظر گرفته می‌شوند (Zadeh *et al.*, 2021; Sayadi *et al.*, 2017). Dwivedi و همکاران به بررسی حذف سیانید با استفاده از دو نوع جاذب بلוט و بادام پرداختند و شاخص‌های مؤثر بر جذب مانند تغییرات pH، دما، غلظت اولیه سیانید، زمان تماس و مقدار جاذب را بررسی کردند. بیشترین ظرفیت جذب برای بلוט ۱۸/۴۵ و برای بادام ۳۲ میلی‌گرم در گرم به دست آمد. فرایند جذب توسط بلוט از مدل لانگمویر و توسط بادام از ایزوترم فروندلیج تبعیت می‌کرد (Dwivedi, 2016). Singh و همکاران نیز به بررسی حذف سیانید و فنول از فاضلاب مصنوعی با استفاده از پسماند چندرقند پرداختند. غلظت اولیه سیانید در این تحقیق ۱۰ تا ۱۰۰ میلی‌گرم در

تترا اتیل ارتوسیلیکات در ۱۰ میلی لیتر اتانول رقیق شده و به محلول در حال هم زدن به صورت قطره قطره اضافه شد. در نهایت نانوذرات مغناطیسی سیلیکا به وسیله مگنت جدا شده و چند بار با آب شسته شد و ۲۴ ساعت در آون قرار داده شد تا خشک شود (Razak *et al.*, 2018).

#### ۴-۲. اصلاح نانوذرات مغناطیسی سیلیکا با خاکستر برگ زیتون

به منظور اصلاح نانوذرات مغناطیسی سیلیکا با خاکستر برگ زیتون تلخ، ابتدا خاکستر برگ زیتون آماده شد. برای این کار ابتدا برگ زیتون تلخ از درختان محوطه دانشکده جمع آوری و شسته شد و سپس با آب مقطر شست و شو داده شد و در انکوباتور خشک شد. سپس برگ‌های خشک شده پودر شده و داخل بوته چینی روی شعله قرار داده شد. در نهایت پودرها در کوره در دمای ۵۰ درجه سانتی گراد به مدت ۵ ساعت به خاکستر تبدیل شد. برای تهیه نانوذرات مغناطیسی سیلیکای اصلاح شده با خاکستر، ابتدا خاکستر با آب مقطر شسته شد تا ناخالصی‌های آن حذف شود و سپس با اسید هیدروکلریدریک ۱۰۰ مولار شسته شد تا نمک‌های رسوب‌کرده در حفره‌های آن حذف شوند. در نهایت خاکستر دوباره با آب مقطر شسته شد تا اسید آن حذف شود. خاکستر شسته شده به مدت ۲۴ ساعت در آون در دمای ۸۵ درجه سانتی گراد قرار داده شد تا ناخالصی‌های آلی آن تبخیر شود و پس از آن در اسید نیتریک ۱ مولار به مدت ۵ ساعت در دمای اتاق قرار داده شد. در نهایت این خاکستر تهیه شده و نانوذرات مغناطیسی سیلیکای سنتز شده به نسبت ۱:۱ با هم مخلوط شدند.

سنتز نمونه‌ها و محلول‌ها استفاده شد.

#### ۲-۲. سنتز نانوذرات مگنتیت

روش‌های مختلفی برای سنتز نانوذرات مگنتیت وجود دارد که در میان آنها هم رسوی به دلیل سادگی و کم خطر بودن، پرکاربردترین روش تولید نانوذرات مگنتیت محسوب می‌شود (Wang *et al.*, 2011). در این پژوهش نیز نانوذرات مگنتیت به روش هم رسوی با اندکی تغییر سنتز شدند. در ابتدا ۱/۶۹ گرم FeCl<sub>3</sub>. 6H<sub>2</sub>O و ۴/۵۹ گرم FeCl<sub>2</sub>. 4H<sub>2</sub>O توزین و در ۱۰۰ میلی لیتر آب مقطر روی دستگاه هات‌پلیت در دمای ۸۰ درجه سانتی گراد به مدت ۳۰ دقیقه هم زده شد. سپس محلول ۱/۵ مولار سدیم هیدروکسید به صورت قطره قطره به محلول در حال هم زدن اضافه شد. به طور معمول با افزودن چند قطره سدیم هیدروکسید به محلول، رنگ محلول از نارنجی به سیاه تغییر پیدا می‌کند که نشان‌دهنده تشکیل مگنتیت است. محلول دو ساعت روی هم زن مغناطیسی قرار داده شد؛ سپس پودر سیاه با آهن‌ربای خارجی جدا و چند بار با آب مقطر و اتانول شسته شد و به مدت ۲۴ ساعت در آون قرار گرفت (Kunzmann *et al.*, 2011).

#### ۳-۲. پوشش دار کردن نانوذرات مگنتیت با سیلیکا

برای پوشش سیلیکا روی نانوذرات مگنتیت، ۰/۵ گرم از نانوذرات مگنتیت (Fe<sub>3</sub>O<sub>4</sub>) سنتز شده در ۴۰ میلی لیتر اتانول و ۲۰ میلی لیتر آب رقیق شد و ۲ سی‌سی آمونیاک به آن افروده شد؛ سپس به مدت ۳۰ دقیقه به وسیله اولتراسونیک پراکنده و یکنواخت شد. محلول به مدت چهار ساعت توسط همزن مکانیکی با سرعت ۲۰۰ دور در دقیقه هم زده شد. ۳ سی‌سی

## ارزیابی حذف سیانید از محلول آبی با استفاده از نانوذرات مغناطیسی...

**جدول ۱- مشخصات آزمایش‌های بهینه‌سازی جذب سیانید با نانوذرات اصلاح شده  $\text{Fe}_3\text{O}_4/\text{SiO}_2$**

بهینه‌سازی غلظت سیانید	بهینه‌سازی مقدار جاذب	بهینه‌سازی زمان تماس	بهینه‌سازی pH	مشخصات آزمایش‌ها
۵	۵	۵	۷، ۵، ۴، ۳ ۱۱ و ۹	pH
۴۵	۴۵	۱۲۰ تا ۱۰	۴۵	زمان تماس (دقیقه)
۳۰	۵۰۰، ۳۰۰، ۱۰۰ ۱۰۰۰ و ۷۵۰	۵۰۰	۵۰۰	مقدار جاذب (میلی‌گرم بر لیتر)
۵۰، ۲۵، ۱۰ ۱۰۰ و ۷۵	۲۵	۲۵	۲۵	غلظت سیانید (میلی‌گرم بر لیتر)

رابطه ۱ استفاده شد:

$$\%R = \left[ \frac{C_0 - C_e}{C_0} \right] \times 100 \quad (\text{رابطه ۱})$$

رابطه ۲ نیز برای تعیین ظرفیت جذب یا ظرفیت تعادلی نانوجاذب سنتز شده به کار گرفته شد.

(رابطه ۲)

$$q_e = \left[ \frac{C_0 - C_e}{C_0} \right] \times 100$$

در این رابطه‌ها  $q_e$  مقدار یون‌های سیانید جذب شده به‌ازای واحد وزن جاذب،  $C_0$  غلظت اولیه یون‌های  $\text{Ce}$  سیانید در محلول بر حسب میلی‌گرم بر لیتر، غلظت تعادلی یون‌های سیانید در محلول بر حسب میلی‌گرم بر لیتر،  $V$  حجم محلول بر حسب لیتر و  $m$  جرم جاذب بر حسب گرم است.

### ۷-۲. ایزوترم‌های جذب

تعداد زیادی مدل ایزوترم تعادلی برای بررسی رفتار جاذب وجود دارد. در این پژوهش پس از بهینه‌سازی شرایط حذف سیانید، از ایزوترم‌های جذب مدل لانگمویر و فروندلیچ برای تجزیه و تحلیل داده‌ها استفاده شد.

#### ۷-۲-۱. ایزوترم مدل لانگمویر

در مدل لانگمویر جذب به‌صورت تک‌لایه است و

### ۲-۵. شناسایی و تعیین ویژگی‌های نانوذرات سنتز شده

برای تعیین مشخصات نانوکامپوزیت سنتز شده از الگوی پراش پرتو ایکس مدل Rigaku MiniFlex 600 (XRD)، طیفسنج مادون قرمز تبدیل فوریه Shimadzo، FT-IR1650 مدل میکروسکوپ Spectrophotometer TE-SCAN، مدل الکترونی روبشی MIRA3 و مغناطیسی‌سنجدنونه مرتعش (SEM) VSM Lake Shore7403 مدل استفاده شد.

### ۲-۶. طراحی آزمایش‌ها

این پژوهش، تحقیقی بنیادی-کاربردی است. همه آزمایش‌ها در آزمایشگاه مرکزی آلودگی‌های محیط زیست دانشکده منابع طبیعی و محیط زیست دانشگاه بیرونی در سیستمی ناپیوسته در دمای محیط صورت گرفت. طراحی آزمایش‌ها به‌صورت یک عامل در یک زمان بود و تأثیر پارامترهای pH محلول، مدت زمان تماس، دوز جاذب و غلظت اولیه آلاینده مورد نظر بر مقدار حذف سیانید از آب بررسی و مقادیر بهینه آنها تعیین شد (جدول ۱).

در این تحقیق برای محاسبه درصد حذف سیانید از

واقع در ایزوترم‌های لانگمویر و فروندلیچ، تأثیر فعل و انفعالات ماده جذب‌شونده در فرایнд جذب مطرح نشده بود؛ بنابراین مدل تمکین بهمنظور بررسی این عامل در نظر گرفته و شناخته شد.

فرم خطی ایزوترم تمکین بهصورت رابطه ۵ است : (Pyzhev and Tempkin, 1940)

(رابطه ۵)

$$q_e = B_T \ln k_T + B_T \ln C_e$$

در این رابطه  $q_e$  مقدار یون‌های جذب شده در حالت تعادل بر حسب میلی‌گرم بر گرم،  $B_T$  ثابت تمکین (پارامتری مربوط به گرمای جذب) بر حسب ژول بر مول،  $K_T$  ثابت جذب تعادلی تمکین (ثابت پیوندی در تعادل) بر حسب میلی‌گرم بر لیتر و  $C_e$  غلظت تعادلی یون‌های سیانید در محلول بر حسب میلی‌گرم بر گرم است.

## ۸-۲. مطالعات سینتیک جذب

تحقیقات سینتیک جذب بهمنظور درک بهتر سازوکار جذب، بررسی سرعت فرایند جذب و حرکتشناسی یون‌های جذب‌شونده استفاده می‌شود. یکی از مهم‌ترین عوامل در طراحی سیستم‌های جذب برای تعیین زمان بهینه فرایند و بررسی سرعت جذب، سینتیک واکنش است. در واقع از سینتیک جذب به عنوان مدلی برای برآورد مقدار جذب با زمان استفاده می‌شود. خواص فیزیکی و شیمیایی ماده جاذب بر سینتیک واکنش تأثیر می‌گذارد و انتقال ذرات جذب‌شونده در واحد زمان را بررسی می‌کند. (Hosseini et al., 2019)

در این پژوهش، مدل‌های سینتیک شبه مرتبه اول و دوم بررسی شد. فرم خطی سینتیک شبه درجه اول و شبه درجه دوم به صورت رابطه‌های ۶ و ۷ است.

روی سطوحی با انرژی یکسان انجام می‌گیرد.

معادله خطی مدل لانگمویر بهصورت رابطه ۳ است (Langmuir, 1916)

(رابطه ۳)

$$\frac{C_e}{q_e} = \frac{1}{K_L \cdot q_m} + \frac{C_e}{q_m}$$

در این رابطه،  $C_e$  غلظت تعادلی سیانید در محلول بر حسب میلی‌گرم بر لیتر،  $q_e$  مقدار سیانید جذب شده به ازای وزن جاذب یا همان ظرفیت جذب در زمان تعادل بر حسب میلی‌گرم بر گرم،  $q_m$  بیشینه یا بیشترین ظرفیت جذب سطحی بر حسب میلی‌گرم بر گرم و  $K_L$  ثابت لانگمویر است.

## ۲-۷-۲. ایزوترم مدل فروندلیچ

اساس این مدل برخلاف ایزوترم لانگمویر، جذب چندلایه‌ای و غیریکنواخت ماده جذب‌شونده روی جاذب است. مطابق این مدل، انرژی جذب با افزایش پوشش سطح کاهش می‌یابد و این ناشی از ناهمگن بودن و غیریکنواخت بودن سطح جاذب است.

(Zhang et al., 2016)

فرم خطی معادله فروندلیچ بهصورت رابطه ۴ است (Freundlich, 1906)

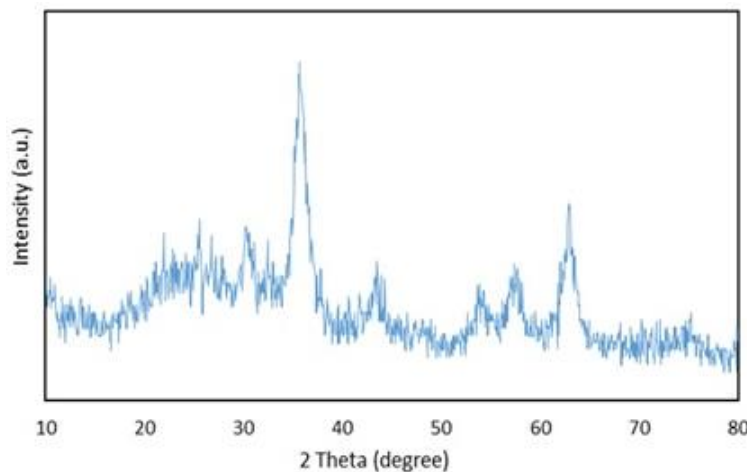
(رابطه ۴)

$$\log q_e = \log K_f + \frac{1}{n} \log C_e$$

در این معادله  $q_e$  مقدار ماده جذب شده در واحد وزن جاذب بر حسب میلی‌گرم بر گرم،  $C_e$  غلظت ماده جذب شده در فاز مایع پس از رسیدن به حالت تعادل بر حسب میلی‌گرم بر لیتر و  $n$  ثابت‌های ایزوترم فروندلیچ هستند.

## ۲-۷-۳. ایزوترم مدل تمکین

ایزوترم تمکین با هدف در نظر گرفتن تأثیر فعل و انفعالات ماده جذب‌شونده بر فرایند جذب است. در

شکل ۱- الگوی XRD نانوذرات  $\text{Fe}_3\text{O}_4/\text{SiO}_2$  اصلاح شده

۶۲/۹۲۷° متعلق به نانوذرات  $\text{Fe}_3\text{O}_4$  است که به ترتیب مربوط به سطوح (۴۰۰)، (۳۱۱)، (۲۲۰)، (۴۲۲)، (۵۱۱) و (۴۴۰) بوده که بازتاب ساختار نانوذرات  $\text{Fe}_3\text{O}_4$  است (Chi *et al.*, 2012). همچنین پیک در (JCPDS card No. 19-0629) برابر با ۲۲/۱۲۶°، متعلق به  $\text{SiO}_2$  است که بیانگر این است که نانوذرات  $\text{Fe}_3\text{O}_4$  با پوسته  $\text{SiO}_2$  (Mortazavi-Derazkola *et al.*, 2017; Shekari *et al.*, 2017) آمورف پوشیده شده است.

### ۲-۱-۳. مشخصه‌یابی نانوذرات $\text{Fe}_3\text{O}_4/\text{SiO}_2$ با

#### استفاده از طیف مادون قرمز (FT-IR)

به کمک این روش می‌توان گروههای عاملی و همچنین مولکولهای آلی را شناسایی کرد. طیفسنج مادون قرمز FT-IR نسبت به طیفسنج معمولی مادون قرمز IR، سرعت بیشتر، تکرارپذیری بهتر و اندازه‌گیری دقیق‌تری دارد. در شکل ۲ نتایج تجزیه و تحلیل FT-IR نانوکامپوزیت  $\text{Fe}_3\text{O}_4/\text{SiO}_2$  اصلاح شده با زیتون نشان می‌دهد که پیک‌های  $3416\text{cm}^{-1}$  مربوط به ارتعاش کششی OH و ارتعاشات پیوندی موجود در محدوده  $1638$  و  $1383\text{cm}^{-1}$

(رابطه ۶):

$$t \log(q_e - q_t) = \log(q_e) - \frac{k_1}{2.303} \quad (\text{رابطه ۷})$$

$$\frac{t}{q_t} = \frac{1}{K_2 q_e^2} + \frac{1}{q_e}$$

در این رابطه‌ها،  $q_e$  برابر است با مقدار سیانید جذب شده در حالت تعادل بر حسب میلی گرم بر گرم،  $q_t$  مقدار سیانید جذب شده در زمان  $t$  بر حسب میلی گرم بر گرم،  $k_1$  و  $k_2$  ثابت‌های سرعت تعادلی سینتیک درجه اول و دوم هستند.

### ۳. نتایج و بحث

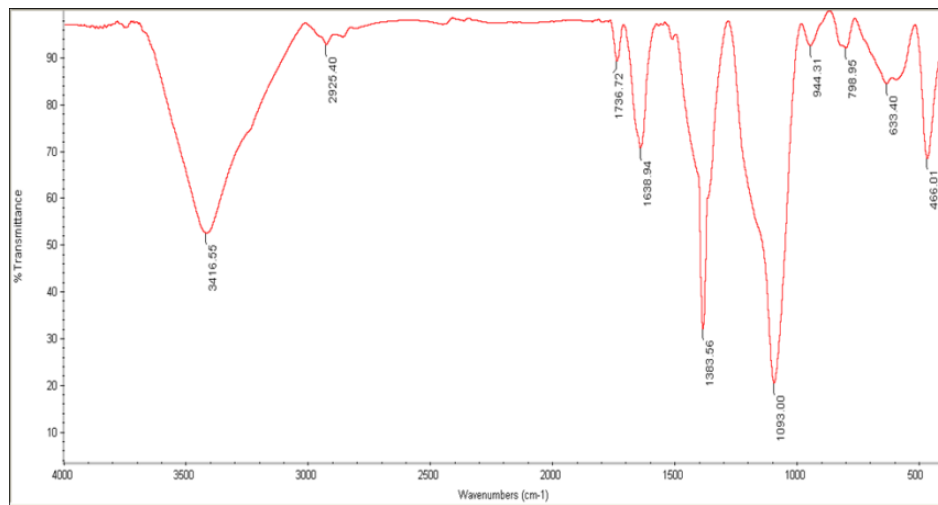
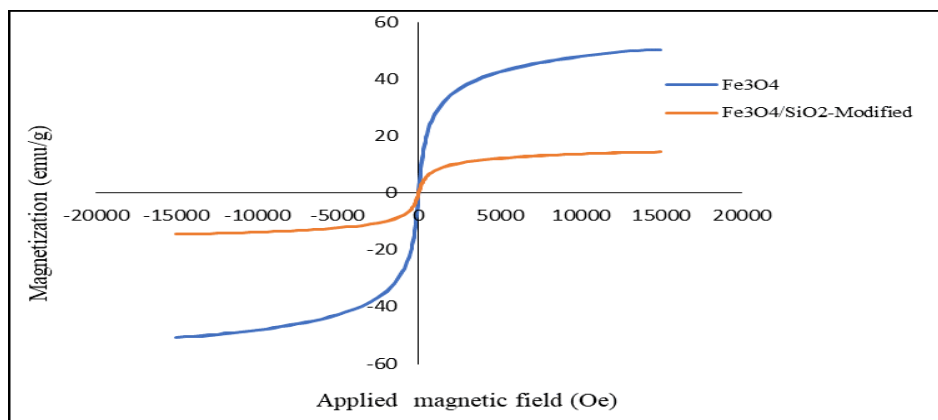
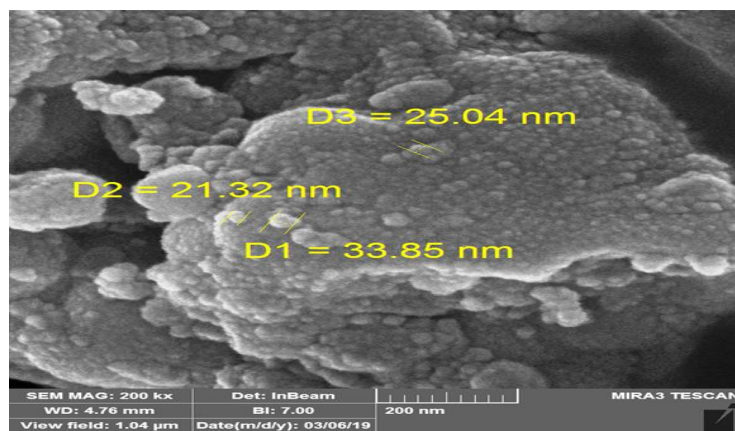
#### ۱-۳. مشخصه‌یابی نانوکامپوزیت

سنتز شده

#### ۱-۱-۳. تعیین ساختار $\text{Fe}_3\text{O}_4/\text{SiO}_2$ توسط

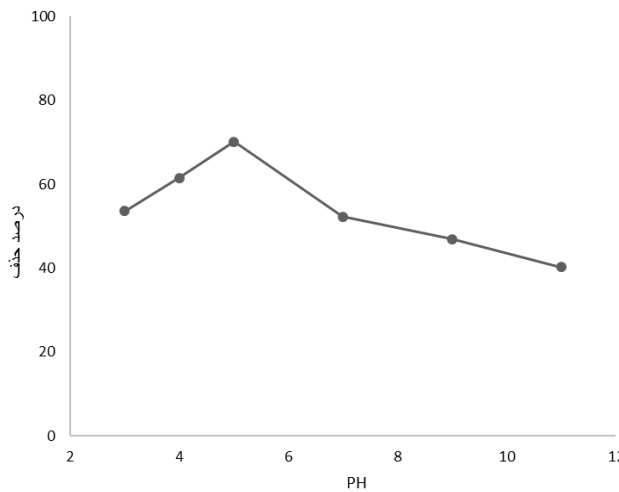
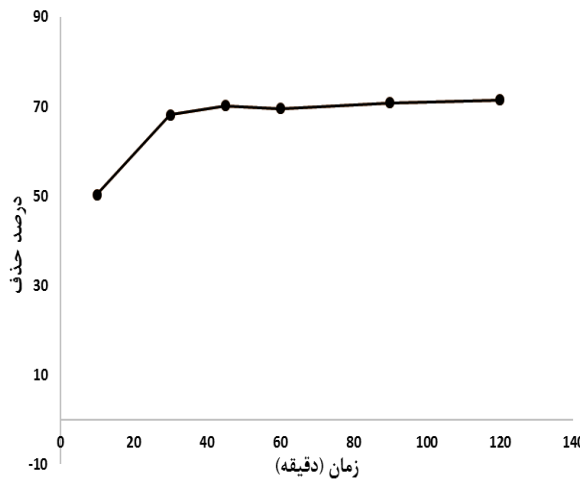
#### الگوی پراش پرتو ایکس (XRD)

شکل ۱ الگوهای XRD نانوکامپوزیت  $\text{Fe}_3\text{O}_4/\text{SiO}_2$  اصلاح شده با زیتون را نشان می‌دهد. همان‌طور که ملاحظه می‌شود این کامپوزیت دارای ساختار کریستالی است که پیک‌های  $2\theta = 30/47.0^\circ$ ،  $35/76.1^\circ$ ،  $43/46.5^\circ$ ،  $53/98.9^\circ$  و  $57/37.0^\circ$

شکل ۲- طیف FT-IR نانوکامپوزیت  $\text{Fe}_3\text{O}_4/\text{SiO}_2$  اصلاح شدهشکل ۳- الگوی VSM مربوط به نانوکامپوزیت  $\text{Fe}_3\text{O}_4/\text{SiO}_2$  اصلاح شدهشکل ۴- تصویر SEM از نانوکامپوزیت  $\text{Fe}_3\text{O}_4/\text{SiO}_2$  اصلاح شده

مریبوط به ارتعاش گروههای کربوکسیلات است (Hussaini *et al.*, 2005) (Esmaeilpour *et al.*, 2012). باندها در ۹۴۴  $\text{cm}^{-1}$  و ۱۰۹۳  $\text{cm}^{-1}$  به ترتیب بیانگر ارتعاش کششی نامتقارن Si-O-Si و باند  $\text{Si}-\text{O}-\text{Si}$  است (Esmaeilpour *et al.*, 2012).

مریبوط به ارتعاش گروههای کربوکسیلات است (Hussaini *et al.*, 2005) (Esmaeilpour *et al.*, 2012). پیک ۴۶۶  $\text{cm}^{-1}$  به ارتعاش پیوند Fe-O اشاره دارد (Esmaeilpour *et al.*, 2012).

شکل ۵- تأثیر pH بر مقدار جذب یون‌های سیانید توسط نانوذرات  $\text{Fe}_3\text{O}_4/\text{SiO}_2$  اصلاح شدهشکل ۶- تأثیر زمان تماس بر مقدار جذب یون‌های سیانید توسط نانوذرات  $\text{Fe}_3\text{O}_4/\text{SiO}_2$  اصلاح شده

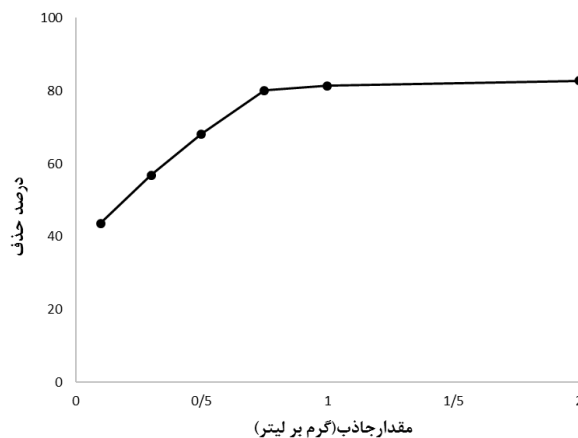
است که در حضور میدان مغناطیسی رفتاری سوپر پارامغناطیس از خود نشان می‌دهد. هیچ اثر یا پدیده پسماند مغناطیسی نیز در تصویر دیده نمی‌شود. همچنین بیشترین درجه اشباع‌شدگی مغناطیسی برای این کامپوزیت برابر با  $(\text{emu/g})_{\text{em}} = 14/437$  است (Zhang *et al.*, 2015; Farzad and Veisi, 2018).

۴-۱-۳. تعیین مشخصات  $\text{Fe}_3\text{O}_4/\text{SiO}_2$  توسط میکروسکوپ الکترونی روبشی (SEM) تصویر SEM نانوکامپوزیت  $\text{Fe}_3\text{O}_4/\text{SiO}_2$  اصلاح شده با زیتون در شکل ۴ نشان داده شده است. این تصویر ساختار هسته-پوسته  $\text{Fe}_3\text{O}_4/\text{SiO}_2$  با خواص

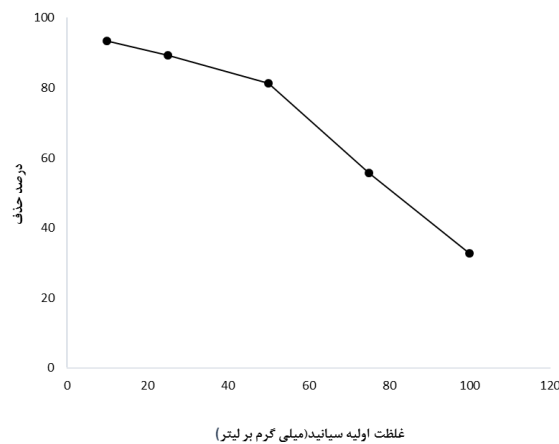
(Sayadi *et al.*, 2017) پیک مشاهده شده در ناحیه  $633 \text{ cm}^{-1}$  به ارتعاش کششی متقارن پیوند Si-O-Fe تعلق دارد (Saleh, 2015). این نتایج نشان‌دهنده قرارگیری موفقیت‌آمیز  $\text{SiO}_2$  روی  $\text{Fe}_3\text{O}_4$  است.

### ۱-۳-۳. آنالیز VSM مربوط به نانوکامپوزیت $\text{Fe}_3\text{O}_4/\text{SiO}_2$

شکل ۳ خواص مغناطیسی نانوکامپوزیت  $\text{Fe}_3\text{O}_4/\text{SiO}_2$  اصلاح شده با زیتون به وسیله الگوی VSM را نشان می‌دهد. براساس این آنالیز نانوکامپوزیت سنتز شده دارای خواص مغناطیسی نرم



شکل ۷- تأثیر مقدار جاذب بر مقدار جذب یون‌های سیانید توسط نانوذرات  $\text{Fe}_3\text{O}_4/\text{SiO}_2$  اصلاح شده



شکل ۸- تأثیر غلظت اولیه سیانید بر مقدار حذف آن توسط نانوذرات  $\text{Fe}_3\text{O}_4/\text{SiO}_2$  اصلاح شده

همان‌طور که در شکل مشاهده می‌شود با افزایش pH محلول، جذب سیانید توسط جاذب کاهش یافت، به‌طوری که بیشترین جذب سیانید در  $pH=5$  غلظت اولیه سیانید ۲۵ میلی‌گرم بر لیتر، مقدار جاذب ۵۰۰ میلی‌گرم بر لیتر و مدت زمان تماس ۴۵ دقیقه به مقدار  $70/13$  درصد صورت گرفت و در pH های بیشتر از ۵ مقدار جذب به‌طور چشمگیری کاهش یافت و کمترین مقدار حذف در  $pH=11$  اتفاق افتاد. بنابراین  $pH=5$  به عنوان pH بهینه در نظر گرفته شد و آزمایش‌های دیگر در این pH انجام گرفت. تأثیر پارامتر pH در پژوهش‌های صورت گرفته درباره جذب سیانید از محلول‌های آبی توسط جاذبهای مختلف بررسی شده است. نتایج تحقیق

مورفولوژیکی از  $\text{Fe}_3\text{O}_4$  و  $\text{SiO}_2$  خالص را با اندازه متوسط  $21-34$  نانومتر نشان می‌دهد که بیانگر پوشش موفقیت‌آمیز است (Farooghi *et al.*, 2018).

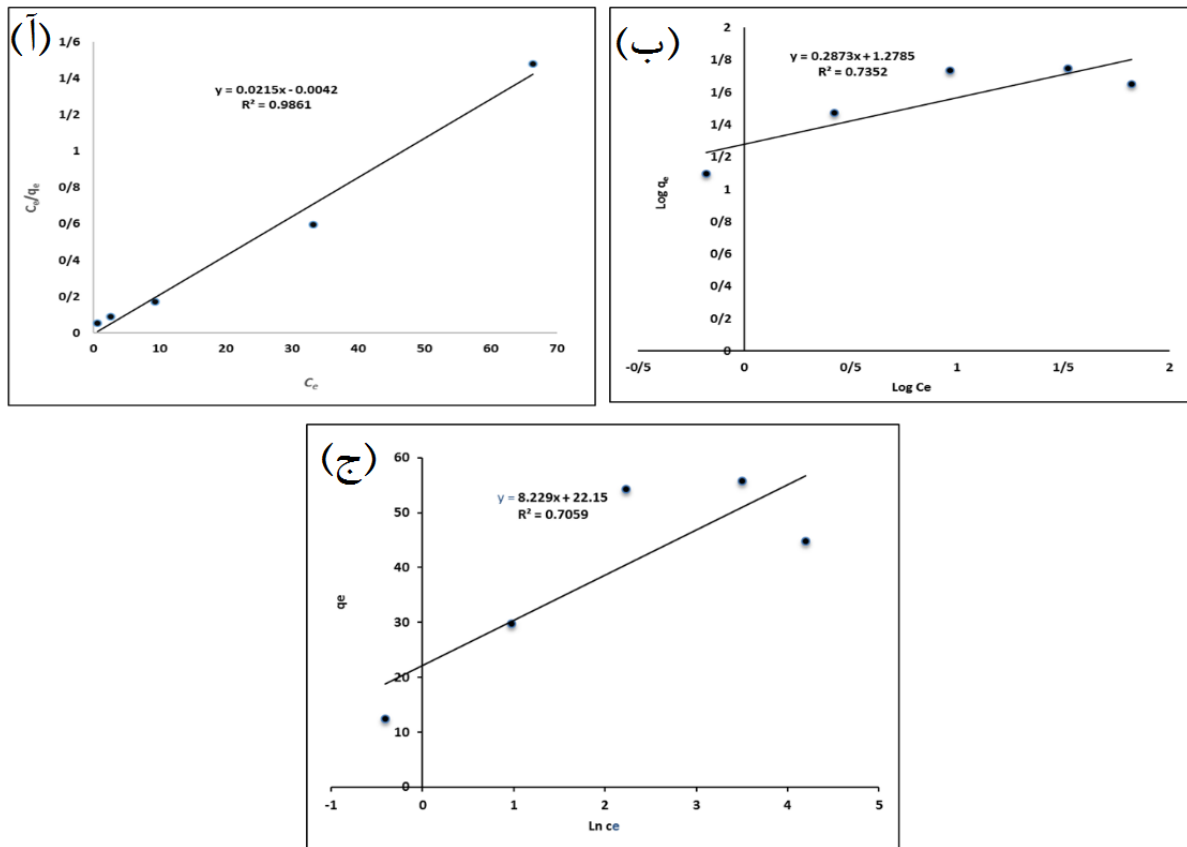
## ۲-۳. بررسی تأثیر عوامل مختلف بر جذب

یون‌های سیانید از محلول‌های آبی

### ۲-۳-۱. بررسی اثر pH محلول بر مقدار جذب

یون‌های سیانید

یکی از عوامل مهم و تأثیرگذار در فرایند جذب، pH محلول است. شکل ۵ تأثیر عامل pH را بر بازده حذف سیانید توسط نانوکامپوزیت مگنتیت- سیلیکا اصلاح شده با برگ درخت زیتون تlux نشان می‌دهد.



شکل ۹- ایزوترم‌های لانگمویر(آ)، فروندلیچ (ب) و تمکین (ج) برای جذب سیانید توسط نانوذرات  $\text{Fe}_3\text{O}_4/\text{SiO}_2$  اصلاح شده

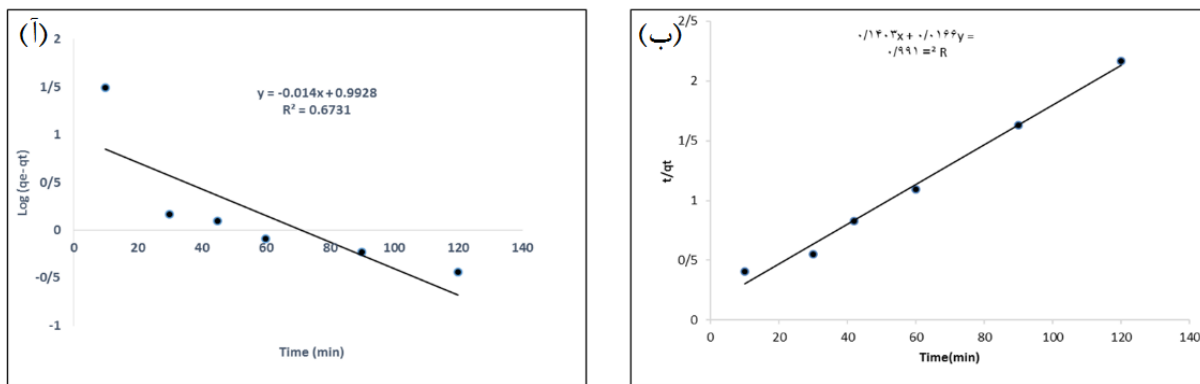
جدول ۲- ضرایب ثابت و همبستگی مدل‌های ایزوترمی در جذب سیانید

ایزووترم تمکین			ایزووترم فروندلیچ			ایزووترم لانگمویر		
K <sub>T</sub>	B <sub>T</sub>	R <sup>2</sup>	K <sub>f</sub>	N	R <sup>2</sup>	K <sub>L</sub>	q <sub>m</sub>	R <sup>2</sup>
۰/۲۱۵	۰/۰۲۲	۰/۷۰۶	۱۸/۹۸۹	۳/۵۹۳	۰/۷۳۵	۵/۱۱۹	۴۶/۵۱۱	۰/۹۸۱

شکل ۶ تأثیر عامل زمان تماس را بر حذف سیانید در شرایط غلظت اولیه ۵۰ میلی‌گرم بر لیتر سیانید، مقدار جاذب ۵۰۰ میلی‌گرم بر لیتر نانوذرات و pH بهینه در دمای محیط نشان می‌دهد. مطابق شکل در ابتدای فرایند، سرعت جذب زیاد است و سپس با گذشت زمان بازده جذب تقریباً ثابت می‌شود. در ۳۰ دقیقه نخست فرایند، بیشترین بازده حذف مشاهده شد که ۶۹ درصد بود و پس از این زمان، افزایش چشمگیری در مقدار حذف صورت نگرفت و روند

کیانی و محیط درباره حذف سیانید توسط نانوذرات آهن نشان داد که بیشترین جذب سیانید در pH ۶/۵ آتفاق افتاد (Kiani and Mahvi, 2014) قاسمی و روحانی در پژوهشی در زمینه حذف سیانید با استفاده از نانوذرات اکسید روی و MOF/Cu بیان داشتند که بیشترین جذب سیانید در pH=۶ صورت گرفت (Ghasemi and Rohani, 2019).

۲-۳. بررسی اثر زمان تماس بر بازده حذف سیانید



شکل ۱۰- سینتیک شبه درجه اول (آ) و سینتیک شبه درجه دوم (ب) در جذب سیانید توسط نانوکامپوزیت  $\text{Fe}_3\text{O}_4/\text{SiO}_2$  اصلاح شده

جدول ۳- ضرایب ثابت و همبستگی مدل‌های سینتیکی جذب سیانید

سینتیک شبه درجه دوم			سینتیک شبه درجه اول		
K <sub>2</sub>	q <sub>e</sub>	R <sup>2</sup>	K <sub>1</sub>	q <sub>m</sub>	R <sup>2</sup>
۰/۰۰۱۹۶	۶۰/۲۴	۰/۹۹۱	۰/۰۳۲	۹/۸۳	۰/۶۷۳۱

از ۱۰۰ میلی‌گرم بر لیتر تا ۷۵۰ میلی‌گرم بر لیتر، مقدار حذف از ۰/۰۴۳ به ۸۰ درصد افزایش یافت، زیرا تعداد مکان‌های فعال برای جذب افزایش یافت که این موضوع ممکن است به دلیل بیشتر شدن برخوردها بین جاذب و یون‌های آلاینده و در نتیجه چسبیدن آلاینده بیشتر به جاذب باشد. اما این روند تا حدی ادامه می‌یابد و پس از آن با افزایش مقدار جاذب، تغییر چشمگیری در مقدار حذف سیانید مشاهده نمی‌شود. افزون بر این باید در نظر داشت که افزایش جاذب تا جایی سودمند است که هزینه‌بر نباشد و سبب افزایش کدورت محلول نشود. در تحقیق Nourozi و همکاران درباره اثر حذف سیانید با استفاده از نانوذرات هیدروکسی آپاتیت مغناطیسی با افزایش مقدار جاذب از ۰/۱ تا ۰/۸ گرم بر لیتر، بازده جذب از ۴۶ تا ۹۹ درصد افزایش داشت (Allahabadi et al., 2015). Nourozi et al., 2015) نیز اثر حذف سیانید با استفاده از نانوذرات آهن را بررسی کردند و دریافتدند که با افزایش جاذب به مقدار ۱ گرم بر لیتر، بازده حذف افزایش می‌یابد (Allahabadi et al., 2019).

حذف تقریباً ثابت شد. با افزایش زمان تماس، جایگاه‌های فعال جاذب و یون‌های موجود در محلول فرصت بیشتری برای تماس با یکدیگر دارند و این جایگاه‌های فعال با گذشت زمان اشغال می‌شوند؛ بنابراین پس از گذشت مدت زمانی از شروع واکنش مقدار جذب ثابت می‌شود و تقریباً به تعادل می‌رسد که در این آزمایش بیشترین بازده حذف در ۳۰ دقیقه اول از شروع فرایند صورت گرفت و پس از آن روند حذف به طور تقریبی ثابت شد. در پژوهش Jauto و همکاران به بررسی حذف مؤثر سیانید از فاضلاب صنعتی با استفاده از کربن فعال اصلاح سطح شده با اسید پرداخته شد و زمان بهینه این پژوهش ۳۰ دقیقه به دست آمد که با تحقیق حاضر مطابقت دارد (Jauto et al., 2019).

### ۳-۲-۳. بررسی اثر مقدار جاذب بر بازده حذف سیانید

تأثیر مقدار جاذب در فرایند جذب سیانید توسط نانوذرات سنتزشده در شکل ۷ نشان داده شده است. همان‌طور که مشاهده می‌شود، با افزایش مقدار جاذب

ایزوترم لانگمویر بیان می‌کند که جذب به صورت تک‌لایه است و سطح جاذب دارای مکان‌هایی با انرژی برابر است و هر مولکول جذب‌شونده تنها به یک مکان اختصاص دارد. در پژوهش Shirzad Siboni و همکاران درباره حذف سیانید با استفاده از پودر آهن و مس، داده‌های تعادلی جذب سیانید از مدل ایزوترم لانگمویر پیروی می‌کرد که با یافته‌های این تحقیق مطابقت دارد (Shirzad Siboni *et al.*, 2011). نتایج تحقیقات Gupta و همکاران درباره حذف سیانید با استفاده از کربن فعال تهیه شده از باگاس نیشکر نشان داد که داده‌های ایزوترم تعادلی جذب سیانید با ایزوترم لانگمویر مطابقت دارد که مشابه نتایج حاصل شده است (Gupta *et al.*, 2012). در تحقیق Allahabadi و همکاران، جذب سیانید با استفاده از نانوذرات آهن از مدل ایزوترمی لانگمویر با ضریب رگرسیون بیش از ۹۵ درصد پیروی کرد و حداقل ظرفیت جذب برای سیانید  $25/63$  میلی‌گرم بر گرم به دست آمد که با نتایج این پژوهش مطابقت دارد (Allahabadi *et al.*, 2019).

#### ۳-۴. بررسی سینتیک حذف سیانید

سینتیک جذب به منظور تعیین مدلی برای برآورد مقدار جذب با زمان استفاده می‌شود و برای درک بهتر دینامیک جذب یون‌های سیانید روی سطح جاذب، سینتیک جذب را بررسی می‌کنند. در شکل ۱۰ نمودار حاصل از برآش داده‌های تعادلی جذب سیانید با مدل‌های سینتیک شبه درجه اول و دوم آورده شده است. در جدول ۳ ضرایب ثابت و همبستگی این مدل‌ها نیز ارائه شده است. با توجه به اطلاعات به دست‌آمده از نمودارهای سینتیکی و مشاهده ضرایب همبستگی آنها می‌توان نتیجه گرفت که جذب سیانید توسط نانوذرات مغناطیسی

#### ۳-۲-۴. بررسی اثر غلظت اولیه سیانید بر بازده حذف سیانید

همان‌طور که در شکل ۸ مشاهده می‌شود در شرایط بهینه ( $pH=5$ ، مدت زمان ۳۰ دقیقه و مقدار جاذب  $750$  میلی‌گرم بر لیتر) با افزایش غلظت یون‌های سیانید، کارایی حذف آن کاهش می‌یابد. مطابق شکل ۸ مشخص شد که با افزایش غلظت اولیه سیانید از  $10$  به  $100$  میلی‌گرم بر لیتر بعد از گذشت  $30$  دقیقه، کارایی حذف آن از  $93$  درصد به  $32$  درصد کاهش پیدا کرد. Asgari و همکاران در پژوهشی درباره حذف سیانید با استفاده از پوست تخمر مرغ دریافتند که با افزایش غلظت اولیه سیانید تا  $50$  میلی‌گرم بر لیتر، بازده حذف افزایش می‌یابد، ولی مقادیر بیشتر سیانید سبب کاهش بازده حذف می‌شود (Asgari *et al.*, 2015).

#### ۳-۳. بررسی ایزوترم‌های جذب در فرایند جذب سیانید

در این تحقیق، داده‌های تعادلی جذب توسط ایزوترم‌های لانگمویر، فرونالیچ و تمکین بررسی شد. نتایج تحقیق در شکل ۹ نشان داده شده است. ضرایب همبستگی و ضرایب ثابت ایزوترم‌های لانگمویر، فرونالیچ و تمکین نیز در جدول ۲ ارائه شده است. مقایسه ضرایب همبستگی حاصل شده از رسم منحنی‌های هر یک از ایزوترم‌ها معیاری مناسب برای تطبیق ایزوترم‌های بررسی شده و داده‌های تعادلی جذب است. در این تحقیق، نتایج بررسی مدل‌های ایزوترم‌های جذب نشان داد که ضرایب همبستگی خوبی با ایزوترم لانگمویر دارند که مقدار آن  $0/9861$  حاصل شد. برای ایزوترم‌های فرونالیچ و تمکین این مقدار به ترتیب  $0/7352$  و  $0/7059$  است.

از خود نشان می‌دهد. تصویر SEM از نانوکامپوزیت سنتزشده، ساختار هسته- پوسته  $\text{Fe}_3\text{O}_4/\text{SiO}_2$  با خواص مورفولوژیکی از  $\text{Fe}_3\text{O}_4$  و  $\text{SiO}_2$  خالص را نشان می‌دهد که بیانگر پوشش موفقیت‌آمیز است. نتایج آزمایش‌ها نشان داد که در شرایط بهینه نانوکامپوزیت مغناطیسی سیلیکای اصلاحشده با خاکستر برگ زیتون تلخ توانایی زیادی در حذف سیانید از محیط آبی دارد. تجزیه و تحلیل مدل‌های ایزوترمی لانگمویر، فروندلیچ و تمکین در فرایند جذب نشان داد که داده‌های جذب سیانید از محلول‌های آبی با ایزوترم لانگمویر مطابقت دارد. همچنین نتایج بررسی سینتیک‌های جذب نشان داد که جذب سیانید از سینتیک شبه درجه دو با ضریب همبستگی پیروی می‌کند. به‌طور کلی نتایج این پژوهش بیان داشت که نانوکامپوزیت مغناطیسی سیلیکای اصلاحشده با خاکستر برگ درخت زیتون تلخ، جاذبی به‌نسبت کارامد و مؤثر در حذف یون‌های سیانید از آب است.

## References

- Abdel-Halim, S.H., Shehata, A.M.A., El-Shahat, M.F., 2003. Removal of lead ions from industrial waste water by different types of natural materials. *Water Research* 3 (7), 1678-1683.
- Ahmadvour, N., Sayadi, M.H., Sobhani, S., Hajjani, M., 2020. A potential natural solar light active photocatalyst using magnetic  $\text{ZnFe}_2\text{O}_4@ \text{TiO}_2/\text{Cu}$  nanocomposite as a high performance and recyclable platform for degradation of naproxen from aqueous solution. *Journal of Cleaner Production* 268, 122023.
- Allahabadi, A., Rahmani Sani, A., Saghi, M., Behrozkahah, H., Sadeghi, S., Behrouzikahah, M., 2019. Removal of Cyanide from Hazardous Waste by Iron Nanoparticles. *Journal of Sabzevar University of Medical Sciences* 26(1), 63-71.
- Silicate-treated nanodrill magnetic particles for removal of cyanide from wastewater. Pirmoradi et al., 2017. *Journal of Environmental Management* 209, 105-113.
- در این پژوهش نانوذرات مغناطیسی مگنتیت به روش همرسوبی با اندازه تغییر سنتز و مطابق روش استوبر با سیلیکا پوشش دار شد. قله‌های نمایان شده در آنالیز XRD نانوذرات سنتزشده بیانگر این است که نانوذرات  $\text{Fe}_3\text{O}_4$  با پوسته  $\text{SiO}_2$  آمورف پوشیده شده است. نتایج آنالیز VSM نانوکامپوزیت  $\text{Fe}_3\text{O}_4/\text{SiO}_2$  اصلاحشده نشان داد که نانوکامپوزیت سنتزشده دارای خواص مغناطیسی نرم است که در حضور میدان مغناطیسی، رفتاری سوپر پارامغناطیسی دارد.
- Asgari, G., Ramavandi, B., Sahebi, S., 2014. Removal of a cationic dye from wastewater during purification by *Phoenix dactylifera*. *Desalination and Water Treatment* 37-39(52), 7354-7365.
- Asgari, G., Seid Mohammadi, A., shabanlo, A., MehrAliPour, J., 2015. Removal of cyanide by eggshell as low-cost adsorbent. *Pajouhan Scientific Journal* 11(3), 52-59.
- Chi, Y., Yuan, Q., Li, Y., Tu, J., Zhao, L., Li, N., Li, X., 2012. Synthesis of  $\text{Fe}_3\text{O}_4@ \text{SiO}_2-\text{Ag}$  magnetic nanocomposite based on small-sized and highly dispersed silver nanoparticles for catalytic reduction of 4-nitrophenol. *Journal of Colloid and Interface Science* 383 (1), 96-102.
- Dash, R. R., Balomajumder, C., Kumar, A., 2009. Removal of cyanide from water and wastewater using granular activated carbon. *Chemical*

Engineering Journal 146(3), 408-413.

Dwivedi, N., Balomajumder, C., Mondal, P., 2016. Comparative investigation on the removal of cyanide from aqueous solution using two different bioadsorbents. Water Resources and Industry 15, 28-40.

Esmaeilpour, M., Sardarian, A.R., Javidi, J., 2012. Schiff base complex of metal ions supported on superparamagnetic Fe<sub>3</sub>O<sub>4</sub>@ SiO<sub>2</sub> nanoparticles: An efficient, selective and recyclable catalyst for synthesis of 1, 1-diacetates from aldehydes under solvent-free conditions. Applied Catalysis A: General 445, 359-367.

Farooghi, A., Sayadi, M. H., Rezaei, M. R., Allahresani, A., 2018. An efficient removal of lead from aqueous solutions using FeNi<sub>3</sub>@ SiO<sub>2</sub> magnetic nanocomposite. Surfaces and Interfaces 10, 58-64.

Farzad, E., Veisi, H., 2018. Fe<sub>3</sub>O<sub>4</sub>/SiO<sub>2</sub> nanoparticles coated with polydopamine as a novel magnetite reductant and stabilizer sorbent for palladium ions: synthetic application of Fe<sub>3</sub>O<sub>4</sub>/SiO<sub>2</sub>@ PDA/Pd for reduction of 4-nitrophenol and Suzuki reactions. Journal of Industrial and Engineering Chemistry 60, 114-124.

Freundlich, H.M.F., 1906. Over the adsorption in solution. The journal of Physical Chemistry 57, 385470.

Ghasemi, N., Rohani, S., 2019. Optimization of cyanide removal from wastewaters using a new nano-adsorbent containing ZnO nanoparticles and MOF/Cu and evaluating its efficacy and prediction of experimental results with artificial neural networks. Journal of Molecular Liquids 285, 252-269.

Gupta, N., Balomajumder, C., Agarwal, V.K., 2012. Adsorption of cyanide ion on pressmud surface: A modeling approach. Chemical Engineering Journal 191, 548-556.

Hosseini, R., Sayadi, M.H., Shekari, H., 2019. Adsorption of nickel and chromium from aqueous solutions using copper oxide nanoparticles: Adsorption isotherms, kinetic modeling, and thermodynamic studies. Avicenna Journal of

Environmental Health Engineering 6(2), 66-74.

Hussaini, S. F., Farhadi, A., Wakili, N., 2005. Infrared spectrophotometry and its application in medicine. Research in Medicine 29(4), 379-386. (In Persian).

Jauto, A.H., Memon, S.A., Channa, A., Khoja, A.H., 2019. Efficient removal of cyanide from industrial effluent using acid treated modified surface activated carbon. Energy Sources, Part A: Recovery, Utilization, and Environmental Effects 1-10.

Kepa, U., Stanczyk-Mazanek, E., Stepniak, L., 2008. The use of the advanced oxidation process in the ozone+ hydrogen peroxide system for the removal of cyanide from water. Desalination 223(1-3), 187-193.

Kiani, G.H., Mahvi, A.H., 2014. Removing Cyanide from Aqueous Solutions using Iron Nano Particle Resin (Lewatit FO36). Tolooebehdasht 12(4), 104-112.

Kunzmann, A., Andersson, B., Vogt, C., Feliu, N., Ye, F., Gabrielson, S., Krug, H., 2011. Efficient internalization of silica-coated iron oxide nanoparticles of different sizes by primary human macrophages and dendritic cells. Toxicology and Applied Pharmacology 253(2), 81-93.

Langmuir, I., 1916. The constitution and fundamental properties of solids and liquids part I solids. Journal of the American Chemical Society 38, 2221-2295.

Mortazavi-Derazkola, S., Salavati-Niasari, M., Khojasteh, H., Amiri, O., Ghoreishi, S. M., 2017. Green synthesis of magnetic Fe<sub>3</sub>O<sub>4</sub>/SiO<sub>2</sub>/HAp nanocomposite for atenolol delivery and in vivo toxicity study. Journal of Cleaner Production 168, 39-50.

Moussavi, G., Khosravi, R., 2010. Removal of cyanide from wastewater by adsorption onto pistachio hull wastes: Parametric experiments, kinetics and equilibrium analysis. Journal of Hazardous Materials 183(1-3), 724-730.

Nelson, L., 2006. Acute cyanide toxicity: mechanisms and manifestations. Journal of

Emergency Nursing 32(4), S8-S11.

Nourozi, R., NooriSepehr, M., Zarrabi, M., 2015. Adsorption of Cyanide from Aqueous Solutions Using Magnetic Hydroxyapatite Nanoparticles Synthesized by Hydrothermal Method: Equilibrium and Kinetic Study. Journal Health 5 (4), 275-288.

Pirmoradi, M., Hashemian, S., Shayesteh, M.R., 2017. Kinetics and thermodynamics of cyanide removal by  $ZnO@NiO$  nanocrystals. Transactions of Nonferrous Metals Society of China 27(6), 1394-1403.

Razak, N.F.A., Shamsuddin, M., Lee, S.L., 2018. Adsorption kinetics and thermodynamics studies of gold (III) ions using thioctic acid functionalized silica coated magnetite nanoparticles. Chemical Engineering Research and Design 130, 18-28.

Saleem, J., Shahid, U. B., Hijab, M., Mackey, H., McKay, G., 2019. Production and applications of activated carbons as adsorbents from olive stones. Biomass Conversion and Biorefinery 9(4), 775-802.

Saleh, T.A., 2015. Mercury sorption by silica/carbon nanotubes and silica/activated carbon: a comparison study. Journal of Water Supply: Research and Technology-Aqua 6 (8), 892-903.

Sayadi, M. H., Siami, M., Esmailpour, M., Hajiani, M., 2017. The efficiency of biosynthesis silica nanoparticles at removal of heavy metals Cr and Cu from aqueous solutions. Journal of Birjand University of Medical Sciences 24 (1), 36-49. (In Persian).

Sayadi, M.H., Rashki, O., Shahri, E., 2019. Application of modified Spirulina platensis and Chlorella vulgaris powder on the adsorption of heavy metals from aqueous solutions. Journal of Environmental Chemical Engineering 7(3), 103169.

Shekari, H., Sayadi, M. H., Rezaei, M. R., Allahresani, A., 2017. Synthesis of nickel ferrite/titanium oxide magnetic nanocomposite and its use to remove hexavalent chromium from aqueous solutions. Surfaces and Interfaces 8, 199-205.

Shirzad Siboni, M., Samarghandi, M., Farrokhi, M., Piri Dogahe, H., Zarrabi, M., 2011. Removal of Cyanide from Aquatic Solution by Using of Iron and Copper Powder: Equilibrium and Kinetic Study. Iranian Journal of Health & Environment 4(3), 289-300.

Singh, N., Balom A., Jumder, C., 2017. Biosorption of Phenol and Cyanide from Synthetic/Simulated Wastewater by Sugarcane Bagasse-Equilibrium Isotherm and Kinetic Analyses. Water Conservation Science and Engineering 2 (1), 1-14.

Tempkin, M.I., Pyzhev, V., 1940. Kinetics of ammonia synthesis on promoted iron catalyst, Acta Physicochimica USSR 12, 327-356.

Wang, Z., Zhu, S., Zhao, S., Hu, H., 2011. Synthesis of core-shell  $Fe_3O_4@SiO_2@MS$  ( $M=Pb$ ,  $Zn$ , and  $Hg$ ) microspheres and their application as photocatalysts. Journal of Alloys and Compounds 509 (24), 6893-6898.

Zadeh, R.J., Sayadi, M.H., Rezaei, M.R., 2021. Synthesis of Thiol modified magMCM-41 nanoparticles with rice husk ash as a robust, high effective, and recycling magnetic sorbent for the removal of herbicides. Journal of Environmental Chemical Engineering 9(1), 104804.

Zadeh, R.J., Sayadi, M.H., Rezaei, M.R., 2020. Removal of 2, 4-dichlorophenoxyacetic acid from aqueous solutions by modified magnetic nanoparticles with amino functional groups. Journal of Water and Environmental Nanotechnology 5, 147-156.

Zhang, Q., Maddukuri, N., & Gong, M., 2015. A direct and rapid method to determine cyanide in urine by capillary electrophoresis. Journal of Chromatography A 1414, 158-162.

Zhang, Q., Teng, J., Zou, G., Peng, Q., Du, Q., Jiao, T., Xiang, J., 2016. Efficient phosphate sequestration for water purification by unique sandwich-like MXene/magnetic iron oxide nanocomposites. Nanoscale 8(13), 7085-7093.